

# 0 Đ L786àG- \$ 1 / 0 \$ 5 ( â LG®@ > F "iG® ¾G® Đ"iG®+N"i ?G¥

i Ü 1, <ip 1, á ŠUĭ 1, Tú F 2, „6 & 2, 9 0K, 1, 1\ ( 3, g#3 Ě 1, N Ò 1, /î 1  
' Ě œ Ö 0ª6 0] œ J ~ \_ Ÿª6 c Ÿ ^ 7 \$ - r Ě œ J œ < œ J R š \ " ^ 3  
• « d œ J œ < œ J % % — 8 %ª6 « d œ J / V  
Ž?. Æ- 6 -2- • 6 -3- P 6% 8a OPL ¾ \$ / V' ) ; N é ~ ºª6 { \$ \$  
Đ Ěrp N tíø ... G \$ » ANL-MARE Â \$ % • OPL º ¥ d Ě r N \_ % • ä ¶ ø t ... G \$ ANL-  
MARE Ě » ANL-MARE " ^ Â \$ " Û K t ø 5 8 • 6 % 8 a PPPc 6 OA ä P 6 LA :  
Ò Â \$ % • Ą OPL r º ¥ d < œ Û - ä 1 ě K Ě r \$ f OPL « æ N ] ¼ ! PPP 0™ » 6  
i š ' 1:14.27 OA 0 LA i š ' 1:0.76 » | h 12.70% ± ě 1 g 50 \$ ± ě 4 h @ " Ñ • ! ^ /  
OPL - s Ą h 47.93% 2 \* • 6 sn-2 PA ½™ • 6 PA ) h Ó ô sn-2 PA - s Ą h 71.69% d @ ó  
... G \$ ANL-MARE 0 e œ » - ' ¶ £ { Ú Â \$ æ N OPL c Ÿ d ~ h N í ... G \$ ANL-MARE  
n Â \$ % • OPL r 7 Ö Ž O \$ ™ Ÿ : Ò % • " b tí Ū ä 8 ä n „ d  
© K d B Æ 6 -2- • 6 -3- P 6% 8a " ¼ 6 ¥ "... G \$ » " ANL-MARE " ] ¼ \$  
½ 1 5 L - Æ 1673-9078(2024)02-109-119 DOI: 10.13982/j.mfst.1673-9078.2024.2.0196

## Synthesis of 1-Oleic Acid-2-Palmitic Acid-3-Linoleic Acid Triglyceride via Enzymatic Acidolysis by Immobilized Lipase ANL-MARE

KANG Meng<sup>1</sup>, HE Jiaqiang<sup>1</sup>, FENG Konglong<sup>1</sup>, HUANG Zaocheng<sup>2</sup>, LI Yifeng<sup>2</sup>, MIAO Jianyin<sup>1</sup>,  
FU Jiangyan<sup>3</sup>, ZHU Zerong<sup>1</sup>, LIU Guo<sup>1</sup>, CAO Yong<sup>1</sup>

(1. College of Food Science, South China Agricultural University, Guangdong Provincial Key Laboratory of  
Nutraceuticals and Functional Foods, Guangzhou 510642, China) (2. Guangdong Huiertai Biotechnology Co. Ltd.,

\* X D Q J ] K R X & K L Q D \* X D Q J G R Q J 0 H L Z H L [ L D Q ) O D Y R U L Q J ) R R G V

Abstract: 7KH GHDPQG IRU LQIDQW IRUPXOD VLPLODU WR EUHDVW PLON LV JURZL  
catalytic preparation of 1-oleic acid-2-palmitic acid-3-linoleic acid triglyceride (OPL), the main lipid component in human  
PLON XVLQJ D QHZ LPPRELOL]HG OLSDVH \$1/ 0\$5( 7KH LPPRELOL]HG OLSDVH  
E-I?Ö

ç Ö, ... æ j, ß „ U Ě, 1y. \* Ě F726ÚG!ANL-MARE Ū FG"@ 8 @-"éG"-2- „G"-3- Ě"éG"+H"é 9GŸ [J].)à O ñ  
0 °, 2024, 40(2): 109-119.

KANG Meng, HE Jiaqiang, FENG Konglong, et al. Synthesis of 1-oleic acid-2-palmitic acid-3-linoleic acid triglyceride  
via enzymatic acidolysis by immobilized lipase ANL-MARE [J]. Modern Food Science and Technology, 2024, 40(2): 109-119.

10u U Ö2023-03-05

0H N-\$ Ö µ R-70 ¶ » H & i Ô P Á Ú N-\$ - µ R-7 Ö 730 ÷ # q [Ÿ H & i Ô P Á Ú Ā 2018B030322010Å µ 8H & i J A x H N-\$ Ā SL2022B03J01001Å x c

§ 80 ¶ v N-\$ - µ EGŠ"iO © Ÿ I D ° 73 IFV.J0- Q æ LUN-\$ Ā CXTD2020006 Ā

'6;1¶ Ö í Ū Ā 1998Ā © Ě . ! Ě . J 0 - i G Ö Ö ÷ Ö D ĸ ž Ě Ě -mail Ö kangm1189@163.com

FPAĀ '6; Ö / i Ā 1966Ā +m Ě • ! Ě • % Ě . J 0 - i G Ö Ö ÷ L œ Ā \_ I Ÿ (Ÿ L œ Ě Ě -mail Ö caoyong2181@scau.edu.cn

FKDUDFWHUL]HG 1H[W DQ HI¿FLHQW HQ]\PH FDWDO\]HG SUHSDUDWLRQ RI OLSL  
DQG OLQROHLF DFLG ZDV HVWDEOLVKHG XVLQJ \$1/ 0\$5( DV WKH ELRFDWDO\WV  
VXUIDFH H[SHULPHQWV WKH RSWLPDO 23/ V\QWKHVLV SURFHVV ZDV REWDLQHG  
fatty acids molar ratio of 1:14.27; an oleic acid:linoleic acid molar ratio of 1:0.76; the addition of 12.70% ANL-MARE; a  
reaction temperature of 50 , and a reaction time of 4 h. Under these conditions, the relative OPL content reached 47.93%, and sn-2  
SDOPLWLF DFLG DFFRXQWHG IRU RI WKH WRWDO SDOPLWLF DFLG FRQWHQW UH  
WKH LPPRELOL]HG OLSDVH \$1/ 0\$5( VKRZH G EHWWHU FDWDO\WLF DFWLYLW\ WKDQ  
WKH LPPRELOL]HG OLSDVH \$1/ 0\$5( KDV VLJQL¿FDQW SRWHQWLDO WR FDWDO\]H WKH  
SURYLGHV D QRYHO VWUDWHJLFDO DQG WKHRUHWLFDQ EDVLV IRU WKH HI¿FLHQW SUH

Key words: 1-oleic acid-2-palmitic acid-3-linoleic acid triglyceride; enzymatic acidolysis; immobilized lipase; ANL-MARE; process optimization

!ý £ \_ ¢ o+OK<sup>-</sup> 6â, \*6 #:U «3P Ä £726Ú  
•!ý £ ] p [7-Gÿ, ' 45%~55% È ü [ J =O<sub>i</sub> ¼72  
6ÚG" ¼ õM0726ÚG" ú ĩ7- W72CX È ) j f, '  
6â ¼ • ç8# £Gý?± Ä<sup>9</sup>3- ¼ =O<sub>i</sub> ¼726ÚG<sup>2</sup>-  
, G" + H" é 9 G, 3-Di- Unsaturated Fatty Acyl-2-  
PalmitoylglycerolsÈUPU Å \_!ý £72CX, ' k?± ^ X  
' ? È =O<sub>i</sub> ¼726ÚG" k?± X+H"éPØ æ, '0û f È A  
}5ž Ä 6 WHUHRVSHFL¿ F 1XPIE13JLQJÈSÄÄOPL, ' f 7 G! óG"@ # j k È k?± ,  
Gÿ F È6<O<sub>i</sub> ¼726ÚG" , GPämitic Acid ÈPAÄ  
Ä4Ö0%~70% ÄGÿ F sn-2 } °>ÈF /ý5 , ' +H  
"é 9Gÿ ÄriacylglycerolÈTAG Ä ĩ j ¢ - o  
)72CX ¼./ (TM CX, #, F ¼ h f Ä óF PØPi 6â ¼  
6ÐFf • ç Ä ĩ ' >p\$ ¼6í7?, ' +H"é 9Gÿ ¼6ö \*G.  
"d £ óF 72CX BR ÿ A72CX0 3> È<sup>9</sup>óF ¢ -  
o+OK<sup>-</sup> 6â § 9Gý?± Æ+X<sup>9</sup>Ä<sup>9</sup>] È 1- "éG"-2-  
, G" -3- È "éG" +H"é 9Gÿ Äoleoyl-2-Palmitoyl-3-  
LinoleoylglycerolÈOPL Å ¼1,3- ¼"éG"-2- , G"  
+H"é 9Gÿ Ä3-Dioleoyl-2-PalmitoylglycerolÈOPO Å  
\_!ý £ ] Y'f ^ X, ' T/ý k?± UPU5 '72 È !  
[Gÿ = < - æ ¼ ` ], ' OŽO • 6< 2 Ä OPL \_  
È#b!ý £ ] 0 ` ü, '72CX È T ! \_ X ] -!ý £ ]  
Ä17.85%~33.02%ÄÄ<sup>9</sup>! È OPL X ¢ o, ' @K<sup>-</sup> ]  
• UGý?± Æ+X<sup>9</sup>Ä<sup>9</sup>É+a ¾!ý £ ² « =Cã F5j  
• È ú( £ ¼ =(TM"é •\$Ä, ' ¢ oG} é !2' ] ~  
=[ OPL °> È D<sup>9</sup>!72CX5 ' W J j O<sub>i</sub> ¼726ÚG" • ž  
X sn-1,3 } ÈK<sup>-</sup> O t • ĩ ý72CX ¼./ (TM CX, ' h f Y  
+X È Y ¾ ¢ - o+OK<sup>-</sup> 6â È C ,8\$ ĩ0 °>Ä<sup>9</sup>È È  
ê £ / 72 OPL, ' 8 @ § 9Gý?± ? y ÈF ) f 7 ¼  
0 0/ý > ] - ê £726ÚG"5 ' ¼ 6 32« ĩ, ' ê £  
72/ ñ § 9Gý?± Ä+X } Ý Ä  
F ¢ • È5 '72CX, ' G!# f 7+a ¾!ý Ä ' &

\$Y ¼ Ä Ü F x)·Q Ä)ß 1y H&é ` # £# È !  
f 7 é# 6 jGÿ F# ÄG"@ # ÄæGÿ F# 1y °>Ä<sup>9</sup>  
óG"@ # ý Ä\$Y ¼ Ä 8<sup>9</sup>1° ... È È ¶ 0/ý 6 pMO  
, '726ÚG" 8 ĩ ` TAG, '(© È }5ž 9+X, ' é# È \_  
9ç Ç ü [(©!°726ÚG", ' TAG 0-\$ Ö, ' é ? °>Ä<sup>9</sup>È  
- F 1 J, ' ê £72 / 72 OPO ~ • ž ¶ A - ¢  
- o x ñ, ' G 2 j È6< OPL+O x 8<sup>9</sup>ý 4 X.D0!  
.æ72 > "éG" Oleic Acid ÈOA ÄÄ È "éG" Älinoleic  
Acid ÈLA Ä F65 ü [ OA ¼ LA, ' =(TM"é j ĩ È X  
\* È F726ÚG!, ' Ü F Æ+X ; 8 @ °> ÄWang1y °>G<sup>9</sup>  
+XG"@ # ,.æ72 > OA ÄLA Ä TM D" 1:7:7 Ä j  
Ä(TM ĩ È È\$+ Ð10% NS4008726ÚG! È0 ý Ä  
4 h È9ç Ç x(TM ] [47.93% OPL Èsn-2 PA( ) [ Gÿ j  
87.90% Ä - 01y °> ÈPP ¼ ü [ OA ¼ LA  
, ' '7&2-"é j Ä(TM Ä TM D" j 1:7 ÄÈ\$+ Ð10%, '  
Novozym 40086X 55 ý Ä 12 h È9ç ÇOPL-( )  
[Gÿ j 42.35% Ä'f6< ÈUPU5 '72?ô Q F+O x  
LÈ ¾ v J F726ÚG! ^ X, ' ° \_ ñ Ä ÄF v J726Ú  
G!, ' Q @ \ ú ü [ sn-2 PA"é72 Ä(TM •\$Ä, ' 5j • È  
LÈ f ¶ - µ ê £ / 72, ' x J F È ,8\$F OPO  
¼ OPL x ñ ' ĩ uQ = ; °>Ä<sup>9</sup>È D0! LO } O.D0!  
\* § 9Q Ü F x)· ÄQ 0c È W, ' \* È F726ÚG! È  
/ - F v JG! f r È " @ ĩ Ä+X ¾Q G" ' WBv"é  
, '7aG" ¼ ...+H"éGÿ Ä+H"é ¼Gÿ, ' +O(TM 8>@Ä<sup>9</sup>  
\ .D0!OÆ x f 7 ¼ > ~ ± \* È FG! ANL-MARE  
Æ j +O(TM Ü F r È \$æ r 6 # üLö Ç ` , ' 9 ,  
G" +H"é 9Gÿ Äripalmitin ÈPPP Ä ú726ÚG" ÄOA Ä  
LA Ä Æ j ĩ È ÈG! óG"@ # f 7 ü [ OPL, ' 5 ' 72 È  
O j óF Q IF ê £72 / 72 OPL, ' G!# f 7 J ... ¼ ĩ)  
à ~ @ \ x J F È \*6Äê ò63 Ä



\$æ r È9ç ÇQ 4PPP x(™ Ä 6 x(™ LC-ELSD ð  
#{ PPP[Gÿ ÈGC-MS ð#{726ÚG" Ä

### 1.3.3 OPL ¼ 6 æ N

#### 1.3.3.1 OPL, 'G! óG"@ ... 3PB P¼

i ž } O.DO! \* .p È H F i y G! óG"@ y Ä, ' Z £K^ i y 3P Ä 6 6 üLö Ç ` , ' PPP > OA ¼ LA 9 0 È ™ D" Ä OA > LA ™ D" j 1:0.5 Ä 1:0.75 Ä 1:1 Ä 1:1.25 Ä 1:1.5 xPPP > k726ÚG" , ' Ä(™ ™ D" j 1:8 Ä:10 Ä:12 Ä:14 Ä:16 Ä\$+ ð8#'+ & ] È ¾60 \$' 8\$æ@ Ä ½ A f3+ ] ð • 0 È CXGÿ 6 , ' \* È FG! ANL-MARE Ä Ä(™ kCXGÿ, 6% Ä8% Ä 10% Ä12% Ä14% Ä È X 0 È "d#p\$Y Ö ; 50 Ä55 Ä 60 Ä5 Ä70 Ä50 r/min y Ä 0 È &L\$ Ä1 Ä2 Ä Ä Ä Ä 10 h ÄÄ y Ä5 • > È ÷ % L" G! È9ç ÇG! ð 8 @ x(™ È 6/è x(™ ] TAG Ä ... 3PB P¼ OPL • k TAG , ' - ( ) [Gÿ ¼ sn-2 PA • k PA , ' CXGÿ 6 Ä sn-2 PA È - ( ) [Gÿ Ä j 7 7 È Ä ð ' OPL , ' [Gÿ ¼ x(™ ] G \* Eœe0+, ) àB' Äy ÄGy =F > | 3!Q Ä\$ f y Ä ð ² ; Ö Ä1 Ä63 OA > LA ™ D" ) 8 @ OPL , ' i y Ö PPP > 726ÚG" Ä(™ ™ D" 1:12 È y Ä\$Y Ö j 60 È y Ä &L\$ j 6 h È 726ÚGANL-MARE \$+ ðGÿ j Ä(™ kCXGÿ, 12% È Ä > LA ™ D" j 1:0.5 Ä:0.75 Ä 1 Ä 1:1.25 Ä 1:1.5 Ä

Ä2 Ä63 Ä(™ ™ D" ) 8 @ OPL , ' i y Ö OA > LA ™ D" 1:0.75 È 726ÚGANL-MARE \$+ ðGÿ j Ä(™ kCXGÿ, 12% È y Ä\$Y Ö j 60 È y Ä &L\$ j 6 h È PPP > 726ÚG" Ä(™ ™ D" j 1:8 Ä:10 Ä:12 Ä 1:14 Ä 1:16 Ä

Ä3 Ä63 726ÚGANL-MARE \$+ ðGÿ ) 8 @ OPL , ' i y Ö Ä(™ ™ D" 1:12 È OA > LA ™ D" 1:0.75 È y Ä\$Y Ö 60 È y Ä &L\$ 6 h È 726Ú G! ANL-MARE \$+ ðGÿ j Ä(™ kCXGÿ, 6% Ä8% Ä 10% Ä12% Ä14% Ä

Ä4 Ä63 y Ä\$Y Ö ) 8 @ OPL , ' i y Ö Ä(™ ™ D" 1:12 È OA > LA ™ D" 1:0.75 È y Ä &L\$ j 6 h È 726ÚGANL-MARE \$+ ðGÿ j Ä(™ kCXGÿ, 12% È y Ä\$Y Ö j 50 Ä55 Ä60 Ä65 Ä70 Ä

Ä5 Ä63 y Ä &L\$ ) 8 @ OPL , ' i y Ö Ä(™ ™ D" 1:12 È OA > LA ™ D" 1:0.75 È y Ä\$Y Ö j 60 È 726ÚG! ANL-MARE \$+ ðGÿ j Ä(™ kCXGÿ, 12% È y Ä &L\$ j 1 Ä2 Ä4 Ä6 Ä8 Ä10 h Ä

#### 1.3.3.2 OPLG! óG"@ 8 @ , ' y ÄM' B P¼ H F

\* ¾ ... 3PB P¼ 5 Ì È F > | y ÄM' H F 6 Ä È

F9 ) OPL - ( ) [Gÿ ¼ sn-2 PA - ( ) [Gÿ 9 n: ð i y , ' 3 Z 3P Ö ANL-MARE 726ÚG! \$+ ðGÿ Ä PPP > 726ÚG" , ' Ä(™ ™ D" Ä OA > LA ™ D" " ÄC ÄÈF > | 3 3P 3" d £ , ' y ÄM' 6 Ä ÎP ¼ È ) OPLG! # 8 @ , ' 8ªF > | H F Ä ÎP ¼ G ÷ + X Box- Behnken Äi ÄÑ È ] ó ÎP ¼ ! Q j 3 ! Q È 4 Z 3P , ' " d £ ² > ~ 1 Ä

Table 1 The factors and levels of Box-Behnken test

| <  | Ü - |      |        |
|----|-----|------|--------|
|    | A/% | B    | C      |
| -1 | 10  | 1:12 | 1:0.5  |
| 0  | 12  | 1:14 | 1:0.75 |
| 1  | 14  | 1:16 | 1:1    |

#### 1.3.4 ¼ 6 ! ^ / TAG Ó 6

ò — Q p 1 y > , ' e # È 6! " ! " > G! óG"@ x(™ 10 mL/g , " » \$' 8 È ½ ð • \$h/è 726ÚG" 1.5 = ™ D f Gÿ , 0.5 mol/L KOH-CH<sub>3</sub>CH<sub>2</sub>OH \$æ # â Ä30% È VV Ä È u 6\$' 0 ÄM% 5ž 6 r È h : r [ 9 TAG , ! " ! - ( È 45 ü Eœ : è f \$æ r Ç ` TAG Ä

#### 1.3.5 ! ^ TAG Ó e

Table 2 LC elution procedure

| "/min | 1 ó/% | Ó Ä Ÿ/% |
|-------|-------|---------|
| 0     | 95    | 5       |
| 10    | 60    | 40      |
| 60    | 60    | 40      |
| 61    | 25    | 75      |
| 66    | 25    | 75      |
| 67    | 95    | 5       |
| 77    | 95    | 5       |

72CX4ð @ 6 ÄG ÷ LC-ELSD F > | Ä È # ² ; Ö 0ª" D È j M. F" D xELSD ð#{ ~ \$Y Ö j 50 È È - " D » È 3.5 bar È Î , ú j 6 È 8ç Ba ! j Dionex Acclaim® C30 Ä 250 mm x 4.6 mm È 5 µm Ä x % 7x ¼ 2 IG-F > | ¼ s ß Ö # G7a È # G7a 0 ; ç ² > ~ 2 È # q FOI mL/min È ! \$Y 30 Ä " è 72 g ñ \$æ @ ¾ ! " ! " Ä 10 mg/m Ä F g Gÿ 20 µL Ä TAG Y + X 7 ö ñ F > | È W È G ÷ + X M' 0 , 0 F # ÄÑ 1 Ç OPL • k TAG , ' - ( ) [Gÿ Ä

#### 1.3.6 » 6 ! N Ó e

69ç Ç , ' TAG + b Gÿ F È G ÷ + GC-MS ð#{ 6 Ä k726ÚG" 4ð @ Ä GC ' & Ö G ÷ + DB-WAX " 4ð 1Ñ ! Ä 60 m x

0.25 mm×0.25 m Å× ð#{ ~\$Y Ö 250 ÈF g \$Y Ö250 ÈE-"D j"V"D È#qFO 1.0 mL/minÈ 6#q" 1:20 ÈF g 1 L Ä w\$Y0; ÿ ÖOÆ x X0 ; 1 1 min Èf > 22.5 /min, 'FO). w\$Y8# 175 È0 > 4 /min, 'FO). w\$Y8# 230 È: 1 20 minÄ MS 6 Ä ' & ÖEI +e/ë\$Ä7-Gÿ j70 eV È/ë € \$Ä ¼ PEÄ4i\$Y Ö 6 [j 230 ¼ 150 Ä >ÿ93 \$ 30~500 Pz È\$æ r &F 6 min Ä726ÚG", ' È W 6 Ä i ž 7 ö ñ ¼Ba Ä Ä NIST.08 ÄF >| È ÈGÿ 6 ÄG÷+X M'0 , 0F# Ä

### 1.3.7 sn-2 » 6 | N Ó e

X 6/ë Ç ` , ' TAG x(TM ] Ð • 1 mL 1 mol/L Tris-HCl5C â#â ÄH I 8.0Ä 0.25 mL 0.05%öG" JÐ ÄPVA 0.1 mL 2.2% CaClÄ PVA 20 mg7 7.2 6ÚG! Ä\$' 8(TM X40 —&ø w s3 min È'f > Ð • 1 mL 6 mol/L HCl ¼2 mL %GÈ È/ë ó Ä %GÈ+X "d .>G"JÐ ç( È" ^"D:è 8# 200 L Ä"d@ x(TM X; ' r .u7&8çBa - : 6/ë È ... 0\$æ r j!" !" / %GÈ %G" Ä50:50:1 È/V/Ä6 sn-2 ...+H"éGÿ, ' V ^ 1 È +bGÿ F È |F >| ²: 1.3.6 pF GC-MS é# 6 Ä Ä sn-2 PA-( ) [Gÿ 9 ; ?AÑ1Ç Ö

$$\% \frac{C}{3 \times D} \times 100\%$$

' / !

%k 2 \* • 6 sn-2 PA ½ TM • 6 ) h Ó

ô % "

Ckk 2 \* • 6 Ä h % "

Dkk • 6 Ä h % d

### 1.3.8 ô | Ó e

B P¼Gÿ 3!Q È p 9 žG÷+X £ w l f 7 ö B >~|j Ä ... 3P é 6 ÄG÷+X SPSS 20 >| È 2 W 6 ÄG÷+Duncan JGÿ93 \$ ðP¼# Ä ý ÄM'B P¼ 6 ÄG÷+XEÿ Design-Expert.V 8.0.6 Ä .(w5 fG÷+X Eÿ &Origin 2018 Ä

## 5 Ö DAPAð

### 2.1 固定化酶ANL-MARE的制备和表征

G ÷ +KT-IR 6 Ä726ÚG ANL-MARE \* È F } > , ' A72 È ² . 2 p/j È k f 6 < @ 0 È XNL-MARE \* È } > È A72 § 9-(1, '(© ± h f È F >~ >G! \* È F > A72, ' ¼4×5 ' Z ` .d • Ä | ] ÈG! \* È F > , ' A72 X 3 448 Ä2 927 Ä2 855.09 Ä 1 733 ¼1 152 cm¹ # K⁻ 4 M'0 Î Ð ÄLç-p \* È F

G! ANL X A72 : [Gÿ, ' Î Ð È h f 3 448 cm¹ Lt F n/j \* , ' j h f j -OH ¼G!(© 9, ' -NH- x+O , ' h5Y \_ Ø ° > Ä2 927 Ä2 855.09 cm¹ h f j -CH₂ F -CH₃ h5Y \_ Ø ° > È > ° > ANL > A72 @ Ì-( F Ö Ä h f 1 733 cm¹ \_ -C=O- h5Y \_ Ø È 1 152 cm¹ j C-N, ' h5Y \_ Ø È > { } Michael 1y ° > , ' D0:5 Ì-(1 È :5 Ìañ Î ¶ ANL 7- FJE ÷ G 7 \* K ^ ¼ " R K ^ Æ + X @ Ì > A725 8 Ä

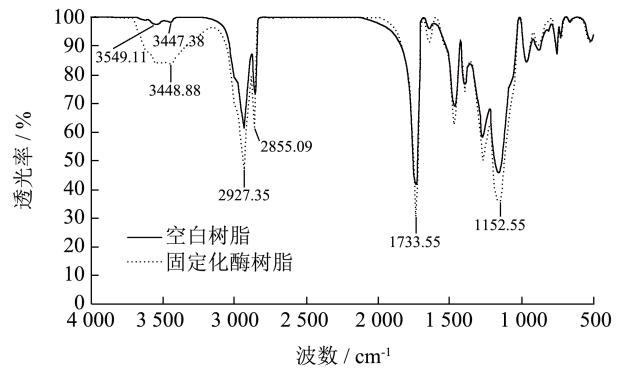


Fig.2 The infrared spectral changes before and after immobilization of ANL-MARE

) \* È FG! ANL-MARE , ' < û , -E-Gÿ >G! #k W 6 Ä ² > ~3 p/j È \* È FG! ANL-MARE E-Gÿ j 13.97 mg/g È < û , -CX hLt) .Q E92.37% È > ~ > \* È F x) .E³Q Ä726ÚG! > ðE-Gÿ ¼G!, ' hLt x) . ā ¾ A72, " > ~M'0 ¼+ç "d W ° > Ä. D0: ] , ' A72 ) ANL hLt W7-Q ¾ x } ANL X #6Š3 5?), ' MP-64 A72 : § 9 83.79% < û , -CX hLt) , ' ÖFf ° > Ä ° ANL-MARE , " #k È È î 79.52 U/mg È Q ¾ x } .D 0! ÖFf, ' ANL X P , , ZIF-8 È : f 7, ' \* È FG! , ' G! #k È ° > Ä ° , : È \* È FG! ANL-MARE G! #k È 8ÿ - È +X ¾ > 5 G! Ü F ý Ä Ä

Table 3 Protein content and enzymatic activity of immobilized enzyme ANL-MARE

|                           | ANL-MARE     |
|---------------------------|--------------|
| ñ B) { h/(mg/g ... G \$ ) | 13.97 ± 0.46 |
| ñ B) k Ñ /%               | 92.37 ± 0.08 |
| ' c O/(U/mg)              | 79.52 ± 2.53 |

### 2.2 PPP的富集及分析

x } .D0! ÖFf È 58 , .æ72 ] [ 9 ` ü , ' PPP ° > Ä PPP \_ 8 @ 2- , G" Gÿ, ' 8ÿ - Ä(TM • \$Ä È !" È 9ç Ç WGÿ, ' PPP Æ j ý Ä Ä(TM È \_G! # 8 @ OPL, ' £K! • PÖ Ä \B P¼G÷+X\$æ r# ) , .æ72 ]

PPPF >| 6 üLö È Y+X PPPX IGž ], \$æ@ Ö ~  
 ¼ ! =O; ¼726ÚG"TAG, 'WCX È X\$æ r ] À \*  
 5 ! È p6<Eî` 6/ë, '-, 'Ä5 ì². 3 È4yE÷ 6  
 È x(TM) ] PPP-( ) [Gÿ p 6 }, ' 42.84% Q  
 ` 94.43% Ä ) 6 x(TM, '726ÚG"4ô @F 0!• 6 Ä  
 Ä>~ 4 ÄÈ x(TM) ] k PA ¼sn-2 PA-( ) [Gÿ 6 [ j  
 92.80% ¼90.03% È-(" üLö PPP { } 6 [ Q ¶  
 21.42% ¼27.17% Ä > x } Wang1y<sup>ø></sup> Ä<sup>ø</sup>p1y<sup>ø></sup>G<sup>ø</sup>  
 +X\$æ r# üLö 6 PPP, 'D0!5 ì-(1Ä :5 ì  
 >~ > È 6 x(TM) ] TAG k?±j PPP È!" 6 8<sup>a</sup>  
 9 x üLö ,.œ72 ] PPP È Æj>5 OPL, '  
 Gi# 8 @, '8ÿ - Ä(TM)•\$Ä Ä

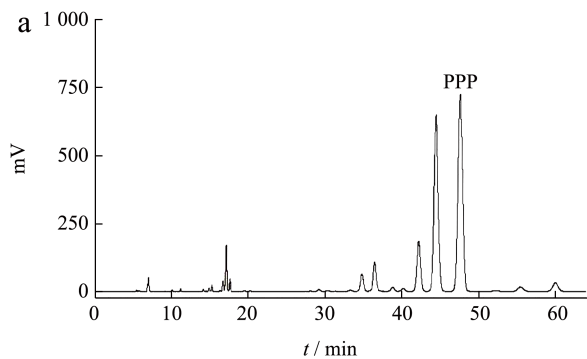


Fig.3 Enrichment of PPP and LC-ELSD liquid phase analysis  
 a 58 §• ÷ LC-ELSD D V í" b < ¶  
 Ó" , )!^ LC-ELSD D V í" c Ó" , •  
 PPP Ä h-\$ d

Table 4 Fatty acid and sn-2 fatty acid composition of palm stearin after fractionation

| FA    | TMFA       |            | sn-2       |            |
|-------|------------|------------|------------|------------|
|       | TMFA       | sn-2       | TMFA       | sn-2       |
| C12:0 | 0.23•0.05  | 0.18•0.59  | 0.02•0.01  | k          |
| C14:0 | 2.12•0.12  | 0.96•0.23  | 0.78•0.03  | 1.47•0.18  |
| C15:0 | 0.09•0.01  | k          | k          | k          |
| C16:0 | 71.38•0.78 | 62.86•0.54 | 92.80•0.28 | 90.03•0.59 |
| C18:0 | 3.92•0.49  | 3.32•0.63  | 3.94•0.34  | 3.80•0.73  |
| C18:1 | 18.28•0.56 | 27.07•0.19 | 1.92•0.12  | 4.27•0.28  |
| C18:2 | 3.98•0.23  | 5.62•0.13  | 0.53•0.04  | 0.43•0.22  |

! FA ! > 6-s Ä h" sn-2!sn-2\* » 6-s Ä h d

### 2.3 酶促酸解法合成OPL的单因素优化

#### 2.3.1 OA 0LA i š ' s æ NOPL ö 1

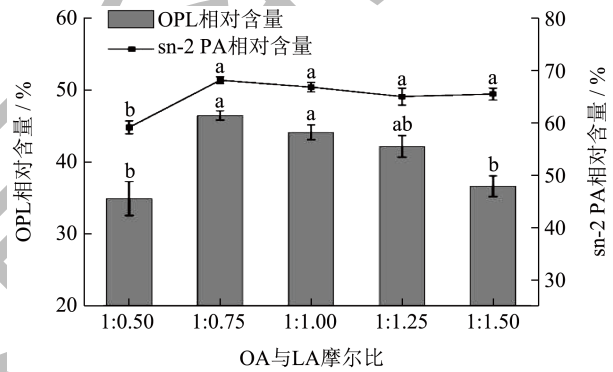


Fig.4 Effect of OA/ LA molar ratio on the synthesis of OPL by enzymatic acidolysis

... 3PB P¼63 4 ý Ä 3P ) OPL • k TAG  
 , '-( ) [Gÿ ú sn-2 PA-( ) [Gÿ, ' i ý ÄGi# 8  
 @ ý Ä5 • ÈG÷+X.á# 7aL" x(TM) ] E÷Gÿ, '726ÚG"  
 6/ë TAG È9ç Ç7aG" > x(TM) ], ' TAG Ç). Eî  
 90.40% È !" \.D0!G÷+X.á# 7aG" 6/ë9ç Ç TAG Ä  
 sn-1,3}© W726ÚG! Ü F 8 @OPL & È726ÚG"G \*  
 È f OA ¼LA , " » \_ i ý x(TM)72CX5 ' , k?±  
 3P<sup>ø></sup> ÈB P¼OÆ x63 Ä(TM)QA > LA TM D" )  
 Gi# G" @ 8 @OPL, ' i ý Ä². 4 p/j ÈOA >  
 LA TM D" j 1:0.75 & ÈOPL ¼sn-2-PA-( ) [Gÿ  
 n:± Î Æ È OPL p 34.90% n:± Î Æ# 46.43%  
 ÄP Ø0.05Ä sn-2 PA-( ) [Gÿ E î68.08% ÄOA >  
 LA TM D" j 1:0.75~1:1.5{L\$ ÈOPL -( ) [Gÿ x  
 ;L}C» i È D 4 TM D" ; x(TM) sn-2-PA-( ) [Gÿ"Ñ  
 9 n:± 2 Ä P Ú0.05 ÄÄ :5 ì @ Gú j f k72

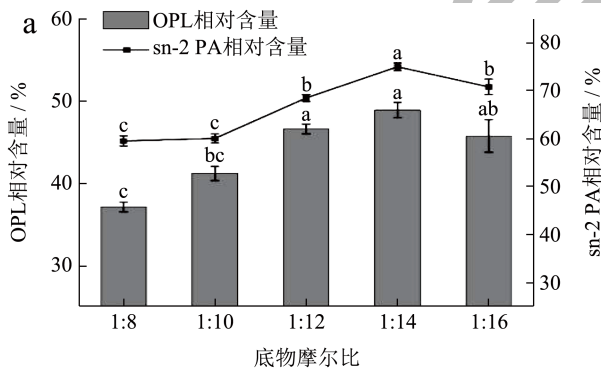
6ÚG, ' [Gÿ 0 Ê & È OA > LA ")·C°Q J Î Ð OA  
, ' •)·È C.8\$ x(TM) OPO [Gÿ Î Ð È6< OA >  
LA ")·E³ ~ & È I C+O @ WGÿ, ' LPL 72C X > È P  
/ý ò à w J - x(TM) OPL Ç)·L} ~ Ä !" È F9  
OA > LA TM D" j 1:0.75E³ jF2 Ì Ä

### 2.3.2 ^ i š ' s æ NOPL ò ¹

63 Á(TM PPP > 726ÚG "G \* È f, ' TM D" )G!  
# G" @ 8 @OPL, ' j ý Ä ² . 5a p/j È PPP > 72  
6ÚG" TM D" j 1:8-1:14 & È OPL - ( ) [Gÿ ¼ sn-2 PA  
- ( ) [Gÿ n: ‡ wQ Ä P Ø0.05 ÄÄ f5 5 Î Ð TM D  
" 8# 1:16 & È 8 @OPL - ( ) [Gÿ" Ñ 9 n: ‡ F È  
D sn-2 PA - ( ) [Gÿ L} ~ È 7- \_G \* +O }0+ p  
8\$ Ä X F6 ý Ä j È Q Á(TM TM D" Î Ð G! > Ä  
(TM, ' à Î NÁ) · Ø > È Î Ð Á(TM) \$h/è 726ÚG, ' Gÿ  
Q G \* Ä 726ÚG" Ä X sn-1,3}, ' •)·Ä f6< E ÷  
J, ' 726ÚG" 7- J Î Ð ý Ä f3+, ' G" Ö ¼ 2 È W È p  
6< Ä f726ÚG!, #k W È L} ~ PCXFO)· È F 05 ì >  
Michael 1y Ø > .DØ 5 ì - (2< I Ä < & Ä(TM) \$ J, '  
726ÚG" C Î Ð > 5 726ÚG" 7aL", ' Lì Ö Ä 5, : pF È  
F9 TM D" 1:14E³ j 8F2 Ä

### 2.3.3 » ANL-MARE ì h s æ NOPL ò ¹

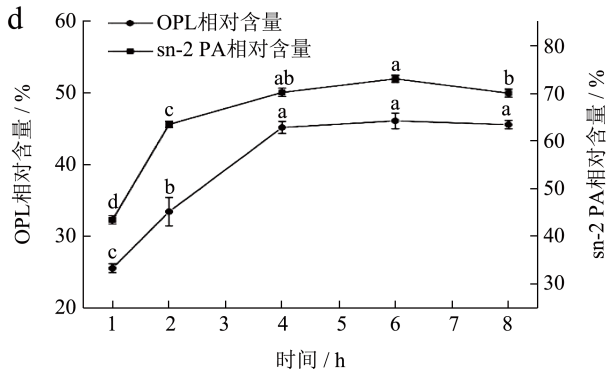
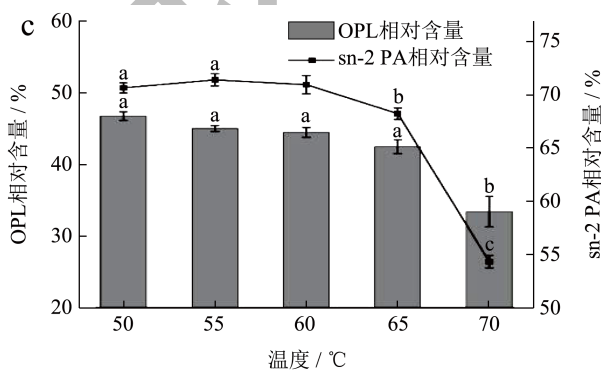
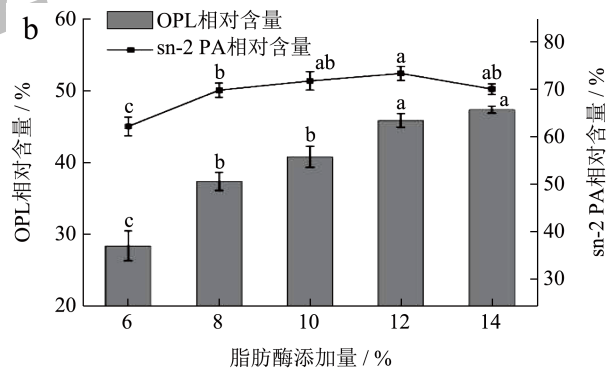
63 726ÚG! \$+ Ð Gÿ )G! # G" @ 8 @OPL, ' j  
ý È ² . 5b/j È ANL-MARE +XG 6%~12% È L} p



G!Gÿ, ' Î Ð È OPL - ( ) [Gÿ n: ‡ Î Ð Ä P Ø0.05 Ä  
'f6< È 5 5 Î Ð ` 14% Ð G!Gÿ > 12% - ( È 8 @  
OPL - ( ) [Gÿ" Ñ 9 n: ‡ 2 Ä P Ú0.05 Ä sn-2 PA  
- ( ) [Gÿ L} G!Gÿ, ' Î Ð x) à \* x Î Ð > C » ¼ £ > ' È  
+J8# X Ð G!Gÿ j 14% & § 9L} ~, ' C » ì Ä : 5 ì  
@ Gú j È X Á(TM Gÿ 0 È, ' ò à ; È Ð · \$ J, ' 726ÚG! È  
Î Ð ¶ Á(TM > G! #k W } ó, ' Ö @ È OPL + O @ Gÿ n: ‡  
Q Ä f ý Ä C » ¼ £ > ' & È 5 5 Î Ð 726ÚG! ) OPL  
x), ' Q Æ + XE³ ? È 6< sn-2 PA - ( ) [Gÿ, ' L}  
7- + a ¼ E ÷ Q, ' Ð G!Gÿ È ý Ä E ÷ 0; j \*) à G \* ) 0+ p  
8\$ Ø > Ä Ø È 5, 863 < · È F9 726ÚG! \$+ Ð Gÿ j 12% Ä

### 2.3.4 ± è 1 g s æ NOPL ò ¹

63 ý Ä \$ Y Ö )G! # G" @ 8 @OPL, ' j ý Ä  
+ a . 5c . È X 50~60 } L\$ È OPL - ( ) [Gÿ  
ú sn-2 PA - ( ) [Gÿ" Ñ 9 n: ‡ 2 Ä P Ú0.05 Ä  
L} - p \$ Y Ö Î Ð 8# 65 È sn-2 PA - ( ) [Gÿ n: ‡ L} ~  
Ä P Ø0.05 Ä X 70 & È OPL - ( ) [Gÿ ¼ sn-2  
PA - ( ) [Gÿ w n: ‡ L} ~ Ä P Ø0.05 ÄÄ } O. D Ø!  
) à È \* È F G! ANL-MARE, ' 0F2 \$ Y Ö j L\$ X  
40~60 Ø > È F Ø 7- @ Gú ¶ \. D Ø! 50~60 ) 8 @  
OPL - ( ) [Gÿ 2 = W, ' ì Ä + a ¼ G ÷ + X ~ ¼ 50  
\$ Y Ö # u 6 \$ æ @ ý Ä Á(TM PPP È < & Q \$ Y J x + O \$  
J, ' 7-6 G È !" È F9 50 Æ j > 5 Î P ¼ ' & Ä



\* 9 8 Ø Ä 2L % F Ç ì F ? " 4 < 0 1 - + ° Ø

Fig.5 Effect of different reaction factors on the synthesis of OPL by enzymatic acidolysis

2.3.5 ±ë"·sæ NOPL ò¹

63 ýÄ&L\$)G#G" @ 8 @ OPL, 'jýÈ².  
 5dÄ ýÄ &L\$ 1~4 h µ ÈOPL -( ) [Gÿ ¼ sn-2 PA-(  
 ) [Gÿ n:‡ wQ Ä P Ø0.05Ä 4~6 hEî` £>' È OPL  
 -( ) [Gÿ ¼ sn-2 PA-( ) [Gÿ 2 = n:‡ Ä P Ú0.05Ä  
 ýÄ 8 h & sn-2 PA-( ) [Gÿ 9 pL} ~ Ä P Ø0.05Ä  
 F 7+ a ¾ ýÄ &L\$ &K` È 6 € +OG \* }0+ p8\$ È  
 F > Wang1y<sup>0></sup>, 5<sup>0</sup> 1 08\$ Ä !" È5, 863<•F9  
 ýÄ &L\$ j 4 h Ä

2.4 酶促酸解法合成OPL响应面结果及分析

\* ¾ ... 3PB P¼5 ì È63 ANL-MARE G!\$+  
 ÐGÿ ÄÄÄ PPP >726ÚG", ' Ä(TM TM D" ÄÄ OA  
 > LA TM D" ÄC ÄB Z 3P È OPL-( ) [Gÿ Ä YÄ  
 sn-2 PA-( ) [Gÿ Ä Y₂ Ä j ýÄ Ì È \*0û 3 3P 3"d  
 £B P¼AÎÄÑ È \$ fAÎÄÑ ¼5 ì?ñ>5 È) ÌP¼ ž  
 F > |J s , 8 È Ç ` ¼!Q JN© , é0; Ö

$$Y_1 = 47.72 + 2.24A + 0.88B + 1.04C - 0.16AB - 0.02AC - 0.56BC - 2.89A^2 - 3.16B^2 - 3.38C^2$$

$$Y_2 = 72.46 + 1.58A + 1.24B + 0.12C - 0.94AB - 0.53AC - 1.26BC - 2.38A^2 - 2.98B^2 - 4.12C^2$$

Table 5 Box-Behnken experimental design and results

| Ë r i | Ü- |    |    | Y <sub>1</sub> | Y <sub>2</sub> |
|-------|----|----|----|----------------|----------------|
|       | A  | B  | C  |                |                |
| 1     | 0  | 0  | 0  | 48.18          | 73.01          |
| 2     | 1  | 0  | -1 | 42.43          | 68.01          |
| 3     | 0  | 1  | 1  | 43.15          | 66.04          |
| 4     | 1  | -1 | 0  | 44.01          | 68.93          |
| 5     | 1  | 1  | 0  | 44.37          | 68.77          |
| 6     | 0  | 0  | 0  | 46.81          | 72.17          |
| 7     | 0  | 0  | 0  | 47.49          | 72.02          |
| 8     | -1 | 1  | 0  | 39.65          | 67.16          |
| 9     | 0  | -1 | 1  | 41.44          | 65.34          |
| 10    | 1  | 0  | 1  | 44.41          | 66.76          |
| 11    | -1 | 0  | 1  | 40.44          | 64.98          |
| 12    | 0  | 1  | -1 | 42.04          | 67.91          |
| 13    | -1 | 0  | -1 | 38.54          | 64.11          |
| 14    | 0  | 0  | 0  | 48.49          | 72.46          |
| 15    | 0  | -1 | -1 | 38.09          | 62.17          |
| 16    | 0  | 0  | 0  | 47.61          | 72.62          |
| 17    | -1 | -1 | 0  | 38.65          | 63.56          |

ì ž é 6 Å5 ì . Ä>~ 6 ÅÈ , Q » , F  
 ÌÈ³Q Ä F=32.69Ä P Ì±~Ä P Ø0.000 1 ÅÈ!" ,

Q » x ± n:‡"d £ ÄB Q » , ' ä È3+ Ä R²=0.976 8 Ä  
 ¼ Q!" ä È3+ Ä R²<sub>adj</sub>=0.946 9 ÅÈ³ j\*6 # ÈB\$ >B  
 Q » , ' ÌP¼B È³ ~ D 80; Ö8ÿ - Ä!" F È a  
 NCF ÌÄ F=2.33 Å ¼P ÌÄ P=0.215 6 Å>~ > a N©  
 = n:‡ È ÌB Q » , ' 0c È WE³ - È +X ¾ OPL, '  
 8 @ ' &F > |N'#{ Ä ì ž>~ } 4 3P, ' F Ì ¼ P Ì  
 . È 0!QN© A ÄC )5 ì j ý ± n:‡ Ä P Ø0.01Ä  
 B )5 ì j ý n:‡ Ä P Ø0.05 ÅÈ ¼!QN© ÄB² ¼  
 C², ' ÖE+X w x ± n:‡ÄPØ0.01 ÅÈ Ö ÄN© Ä  
 AC ÄBC )5 Ì"Ñ 9 n:‡ j ý Ä P Ú0.05 ÄÄ 4 3P  
 )8 @ OPL-( ) [Gÿ, ' j ý NÄ ž j Ö A ÚC ÚB È £  
 ÐG!Gÿ ÚOA > LA TM D" ÚÄ(TM TM D" Ä  
 = 0 1 - \$ % WFB σ Ä 3ÿ" ä 2 ...

Table 6 Variance analysis of response surface results for the relative content of OPL

| ° ýW <° ä ' g ^°  | F       | P  | j W ý                   |
|-------------------|---------|----|-------------------------|
| f ø               | 196.16  | 9  | 21.80 32.69 <0.000 1 ** |
| A                 | 40.23   | 1  | 40.23 60.34 0.000 1 **  |
| B                 | 6.16    | 1  | 6.16 9.24 0.018 9 *     |
| C                 | 8.69    | 1  | 8.69 13.04 0.008 6 **   |
| AB                | 0.10    | 1  | 0.10 0.15 0.706 8       |
| AC                | 0.001 6 | 1  | 0.001 6 0.002 4 0.962 3 |
| BC                | 1.25    | 1  | 1.25 1.88 0.212 5       |
| A²                | 35.06   | 1  | 35.06 52.58 0.000 2 *   |
| B²                | 42.06   | 1  | 42.06 63.08 <0.000 1 ** |
| C²                | 47.97   | 1  | 47.97 71.96 <0.000 1 ** |
| ÷                 | 4.67    | 7  | 0.67                    |
| ž ¥ »             | 2.97    | 3  | 0.99 2.33 0.215 6 ä j W |
| J b               | 1.70    | 4  | 0.42                    |
| TM - Ó            | 200.83  | 16 |                         |
| R²                | 0.976 8 |    |                         |
| R² <sub>adj</sub> | 0.946 9 |    |                         |

q! \* r ¶ µ Ó j W P Ø0.05 \*\* r ¶ µ Ó ~  
 j W P Ø0.01 d • ¶ ½ d

+a>~7 é 6 Å5 ì . È , Q » , F ÌÈ³Q  
 ÄF=64.46Ä P Ì±~Ä P Ø0.000 1 ÅÈ!" , Q » x  
 ± n:‡"d £ ÄB Q » , ' ä È3+ Ä R²=0.988 1 Å ¼  
 Q!" ä È3+ Ä R²<sub>adj</sub>=0.972 7 ÅÈ³ j\*6 # ÈB\$ >B Q »  
 , ' ÌP¼B È³ ~ D 80; Ö8ÿ - Ä!" F È a N© F Ì  
 ÄF=3.72 Å ¼P ÌÄ P=0.118 5 Å>~ > a N© = n:‡ È Ì  
 B Q » , ' 0c È WE³ - È +X ¾ OPL, ' 8 @ ' &F > |N'  
 #{ Ä ì ž>~ } 4 3P, ' F Ì ¼ P Ì . È 0!QN© A Ä  
 B )5 ì j ý ± n:‡ Ä P Ø0.01Ä C )5 ì j ý =



n:‡ ÄP Ú0.05 Äx Ô ÄNÖC )5 ì j ý ± n:‡  
 ÄP Ø0.05 AB )5 ì j ý n:‡ Ä P Ø0.05 AC  
 )5 ìN 9 n:‡ j ý Ä P Ú0.05 ÄÄ ¼!QN@² ÄB² ¼  
 C², 'CE+X w x ± n:‡ Ä P Ø0.01 ÄÄ 4 3P ) x(TM]  
 sn-2 PA-( ) [Gÿ, ' i ý Na ÿ j Ö A ÚB ÚC È £  
 ÐG!Gÿ ÚÄ(TM TM D" ÚOA > LA TM D" Ä  
 = T O 1 ", \$ % WFB ø Ä 3ÿ" ä 2 ...

Table 7 Variance analysis of response surface results for the relative content of sn-2 PA

|                   | F      | P  | iWÿ                      |
|-------------------|--------|----|--------------------------|
| f ø               | 190.17 | 9  | 21.13 64.46 <0.000 1 **  |
| A                 | 20.03  | 1  | 20.03 61.11 0.000 1 **   |
| B                 | 12.20  | 1  | 12.20 37.22 0.000 5 **   |
| C                 | 0.11   | 1  | 0.11 0.32 0.587 7        |
| AB                | 3.53   | 1  | 3.53 10.78 0.013 4 *     |
| AC                | 1.12   | 1  | 1.12 3.43 0.106 6        |
| BC                | 6.35   | 1  | 6.35 19.37 0.003 2 **    |
| A²                | 23.76  | 1  | 23.76 72.48 <0.000 1 **  |
| B²                | 37.28  | 1  | 37.28 113.71 <0.000 1 ** |
| C²                | 71.32  | 1  | 71.32 217.54 <0.000 1 ** |
| ÷                 | 2.29   | 7  | 0.33                     |
| ž ¥ »             | 1.69   | 3  | 0.56 3.72 0.118 5 ä j W  |
| J b               | 0.61   | 4  | 0.15                     |
| TM - Ó            | 192.47 | 16 |                          |
| R²                | 0.988  | 1  |                          |
| R² <sub>adj</sub> | 0.972  | 7  |                          |

ý Ä "M' \$ - ` 6 4 3P {L\$, ' Ô Ä CE+X  
 ?ö F È² . 6 p/j È Ô Ä CE+XAB ÄAC ÄBC ,  
 "4i \_" È1yQ "4i x j 6' Ä Ô Ä CE+X) sn-2 PA  
 -( ) [Gÿ, ' i ý² . 7 p/j È BC Ô Ä CE+X "M' OL' È  
 D1yQ 4i öLö È> >BC Ô Ä CE+X ðn-2 PA-( )  
 [Gÿ, ' i ý 0 j n:‡ È+a . 6 Ä Ô Ä CE+X W ? 6 [ j  
 ÖBC ÚAB ÚAC Ä

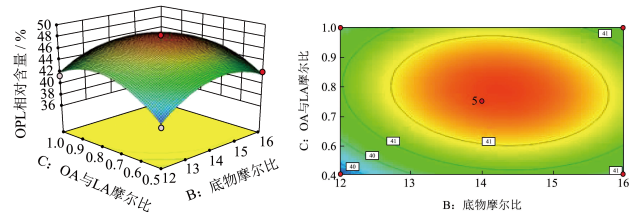
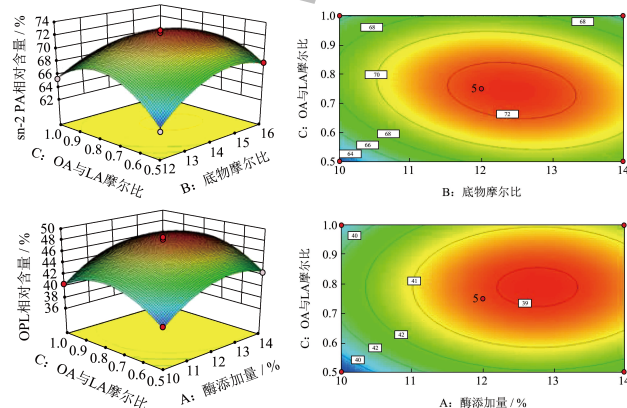


Fig.6 Response surface of the interaction of enzyme load, substrate ratio and fatty acids molar ratio on the relative content of OPL

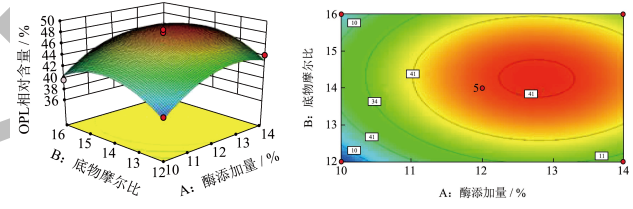
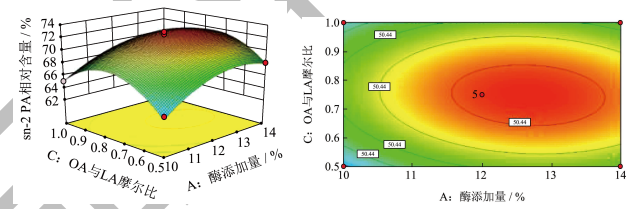
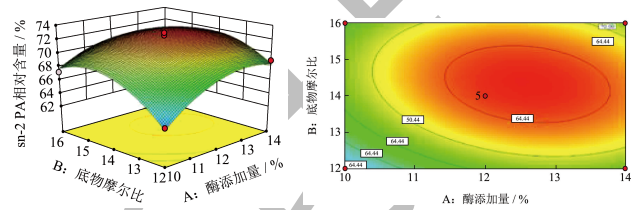


Fig.7 Response surface of the interaction of enzyme load, substrate ratio and fatty acids molar ratio on the relative content of sn-2 PA

FJE ÷ , Q » N' # { È Ç ` 8 @ OPL 0F2 8ª  
 j ÖPPP > 726 ÚG", ' TM D" 1:14.27 È 726 ÚG!\$+ ÐGÿ  
 12.70% È OA > LA TM D" j 1:0.76 È X!" ' & ;,  
 8 @ OPL-( ) [Gÿ, ' N' # { l j 48.24% È sn-2 PA(  
 ) [Gÿ j 72.76% Ä X!" ' & ; F > | 3!QP¼AñB P¼ Ç  
 ` 8 @ OPL £ w [Gÿ j 47.93% È sn-2 PA( ) [Gÿ  
 j 71.69% È > Q » N' # { l-(F È> > ý ÄM' 8ª Q  
 » 8 ÖE³ - È +X ¼ OPLG!# 8 @, ' 7 , Ä

### 2.5 固定化酶ANL-MARE与商业酶催化合成OPL的比较

- } # +X ¼ 72CX O, ' v J F, ' sn-1,3(© 2  
 W \* È F 726 ÚGNS40086 ¼ Lipozyme 435 X-( l

ý Ä ' & ; È § 9E³ -, ' Ü F#k W Ä !" È X H F  
 ; ' ý Ä ' & ; ÈB P¼ 6 ANL-MARE Ü F 8 @OPL  
 ; ' Ü F#k W > v JG! NS40086 ¼ Lipozyme 435F  
 >|" E³ È5 ì². 8 p/j Ä3 /ý726ÚG! Ü F ý Ä ]  
 OPL-( ) [Gÿ ¼ sn-2 PA-( ) [GÿLç-p ý Ä &L\$, ' Î  
 ð6< Î ð È : X 4 h >C» ¼0c È Ä ! ; ] ÈANL-MARE  
 ¼ NS40086 8 @OPL-( ) [Gÿ ú sn-2 PA-( )  
 [Gÿ" Ñ 9 n: ‡ 2 Ä P Ú0.05Ä sn-2 PA-( ) [Gÿ  
 w n: ‡Q ¼ Lipozyme 435ý Ä p Ç Ä P Ø0.05Ä  
 Lipozyme 435X 4 h & OPL-( ) [Gÿ+J8# 9 p ; L] È  
 B\$ > ý ÄE÷0; ] 7- ^ XG \* )0+ ÄF È5 ÌB\$ >  
 ANL-MARE , ' Ü F#k W ¼sn-1,3(© 2 W > nQ ¼  
 Lipozyme 435 È ! Eì ` > NS40086 Ü F 8 @ OPL  
 7- È-( f È ! 8 @ OPL, '-( ) [GÿQ ¼ x ] Q P  
 1y<sup>0></sup>; .D0!G÷+XNS40086 0!•# Ü F 8 @ 42.07%  
 OPL, ' Öf Ä5, : pF È \* È FG! ANL-MARE §  
 9E³ H, ' Ü F 8 @ OPL, '#k W Ä

PPP >726ÚG", ' ™ D" 1:14.27 ÈANL-MARE726Ú  
 G!\$+ ðGÿ2.70% ÈDA > LA ™ D" j 1:0.76 È50  
 ; ý Ä 4 h Ä X!" ' & ; , ' 8 @ OPL-( ) [Gÿ j  
 47.93% Èsn-2 PA( ) [Gÿ j 71.69% Ä > v J \* È  
 FG!-( " È ANL-MARE Æ j Ü F 8 @ OPL, '+O(™  
 Ü F r & È § 9E³ H, ' Ü F#k W ¼ sn-1,3 } (© 2 W Ä  
 \.D0! È ¶G!# G" @ 8 @ OPL, ' à 8ª È j ê £  
 72 / ñ, ' x J F f 7 • È ¶\*6Aê \* .p Ä

参考文献

- > @GANESHALINGAM M, ENSTAD S, SEN S, et al. Role of lipidomics in assessing the functional lipid composition in breast milk [J]. *Frontiers in Nutrition*, 2022, 9: 899401.
- > @O"ã, N O, ~9ú8ã, 1y. ý £ 1, 3- ¼ =Oj ¼726ÚG"-2-, G"+H"é 9Gÿ ÄUPU Ä, 4ê @ >:U « Ì7-[J. ] -"é 72,2022,47(9):114-121.
- > @WU Y, ZHANG N, DENG Z, et al. Effects of the major structured triacylglycerols in human milk on lipid metabolism of hepatocyte cells. *Journal of Agricultural and Food Chemistry*, 2021, 69(32): 9147-9156.
- > @ZHANG Y, WANG N, ZHAO H. , Q Yactivities of the structured lipids 1,3-dioleic acid-2-palmitic acid triglyceride (OPO) in high-fat diet mice [J]. *Food Bioscience*, 2022, 47: 101667.
- > @ZHANG Z, WANG Y, LI Y, et al. Effects of sn-2-palmitate-enriched formula feeding on infants J U R Z W K V W R R O characteristics, stool fatty acid soap contents and bone PLQHUDO FRQWHQW \$ \V\WHPDWLF UHYLH UDQGRPL]HG FRQWUROOHG WULD OV >- @ Science and Nutrition, 2022, 27: 1-11.
- > @YUAN T, QI C, DAI X, et al. Triacylglycerol composition of breast milk during different lactation stages [J]. *Journal of Agricultural and Food Chemistry*, 2019, 67(8): 2272-2278.
- > @ZFM, H9L, H ½, 1y. ý £ ] 1-"éG \*-2-, G \*-3- È "éG \*+H"é 9Gÿ, .D0!F ... [J. ] -"é72,2022,47(5): 16-22.
- > @ZHANG X, WEI W, TAO G, et al. Identification and quantification of triacylglycerols using ultraperformance supercritical fluid chromatography and quadrupole time-RI À L J K W P D V V V S H F W U R P H W U \ & R P S D U L infant formula, other mammalian milk, and plant oil [J]. *Journal of Agricultural and Food Chemistry*, 2021, 69(32): 8991-9003.
- > @LOU Q, ZHAO J, LIU Y, et al. Advances in analysis, metabolism and mimicking of human milk lipids [J]. *Food Chemistry*, 2022, 393: 133332.
- > @SNEHAR, JEYARANI T. Lipase-catalysed acidolysis of PDQJR NHUQHO IDW ZLWK FDSULF DFLG W

\* & ~ BFç " / - . " 3 & : r FFç ØB 4 < O 1 - +! Dfl

Fig.8 Comparison of immobilized enzyme ANL-MARE with commercial enzymes in catalytic synthesis of OPL

5 Að

\ · f 7 ¼ > ~ ± ¶ \* È F726ÚG! ANL-MARE È  
 X \$æ r f 3+ ] È Ü F Å (PPP ÄOA ¼ LA 8  
 @OPL ÈFJE÷ ... 3P ¼ ý ÄM' H F9ç Ç 0 H 8ª Ö

- long-chain triacylglycerols [J]. International Journal of Food Science & Technology, 2018, 53(6): 1527-1534.
- > WANG L, CHENG X, YU X, et al. Lipase-mediated production of 1-oleoyl-2-palmitoyl-3-linoleoylglycerol by D WZR V W H S P H W K R G > - @ ) R R G % L R V S F 2 p a o n f i l a c i d a n d s n - 1 , 3 o l e i c a c i d ( O P O ) f o r i n f a n t f o r m u l a u s e [ J ] . F o o d C h e m i s t r y , 2 0 2 2 , 3 9 0 : 1 3 3 1 7 1 .
  - > WANG X, HUANG Z, HUA L, et al. Preparation of human milk fat substitutes similar to human milk fat by enzymatic acidolysis and physical blending [J]. LWT-Food Science and Technology, 2021, 140: 110818.
  - > @ 0 0 , % £ p , T ô - K . G ! Ü F ' 7 & 2 - " é \* ü [ Ê T è G " , ' O P L » 5 ' G Ÿ [ J ] . O ñ 1 ~ , ; , 2 0 2 2 , ( 1 7 ) : 1 3 6 - 1 3 8 .
  - > WANG W, SUN C, WANG X, et al. Lipase-catalyzed V \ Q W K H V L V R I V Q S D O P L W D W H 2 0 2 0 , 6 ( 4 ) : 4 0 6 - 4 1 4 .
  - > HAO , 9 \* K & , T ô @ , 1 y . \* Ê F 7 2 6 Ú G ! Ü F G ; " é 3 " é 7 2 8 @ + H " é ¼ G Ÿ , ' . D 0 ! [ J ] . à O ñ 0 ° , 2 0 1 7 , 3 3 ( 1 1 ) : 1 1 0 - 1 1 8 .
  - > WANG K, HUANG Z, PENG B, et al. Immobilization of \$ V S H U J L O i p a s e o n t o a n o v e l m a c r o p o r o u s a c r y l i c U H V L Q 6 W D E O H D Q G U H F \ F O D E O H E L R F Ú G W Ů F 0 @ 1 , 3 V ¼ " É G - 2 G H D - F L É G Ÿ [ J ] D O W L R Q G ¥ J , 2 0 1 6 , 4 2 ( 5 ) : 2 5 - 3 0 .
  - > LIU N, FU M, WANG Y, et al. Immobilization of Lecitas®ultra onto a novel polystyrene DA-201 resin: characterization and biochemical properties [J]. Applied Biochemistry and Biotechnology, 2012, 168(5): 1108-1120.
  - > ZHOU X, HUANG J, JIN Q, et al. Preparation of human P L O N I D W V X E V W L W X W H V I U R P S D O P m e t h o d f o r s i m u l t a n e o u s p r e p a r a t i o n o f h u m a n m i l k f a t a n d d o c o s a h e x a e n o i c a c i d : C o m b i n a t i o n o f e n z y m a t i c a n d p h y s i c a l m e t h o d s [ J ] . J o u r n a l o f A g r i c u l t u r a l a n d F o o d C h e m i s t r y , 2 0 1 2 , 6 0 ( 3 7 ) : 9 4 1 5 - 9 4 2 3 .
  - > @ 0 0 , % O , F é , 1 y . G ! # 8 @ 1 - " é G " - 2 - , G " - 3 - Ê " é G " + H " é 9 G Ÿ 5 ' 7 2 , ' . D 0 ! [ J ] . ] - " é 7 2 , 2 0 2 0 , 4 5 ( 8 ) : 6 6 - 7 0 .
  - > WANG X, HE L, HUANG J, et al. Immobilization of O L S D V H V R Q W R W K H K D O R J H Q K D O R 0 2 0 3 5 - 0 2 0 4 2 V P R G L ¿ H G 6 % \$ E n z y m a t i c a c t i v i t y a n d g l y c e r o l y s i s p e r f o r m a n c e s t u d y [ J ] . I n t e r n a t i o n a l J o u r n a l o f B i o l o g i c a l M a c r o m o l e c u l e s , 2 0 2 1 , 1 6 9 : 2 3 9 - 2 5 0 .
  - > WU L, ZHANG Y, ZIVKOVIC V, et al. Deacidification R I K L J K D F L G U L F H E U D Q R L O E \ W K H Q W D W G E H P 2 , F R [ D ] W K C C X R V X - 2 0 2 0 R Z e n z y m a t i c r e a c t o r s [ J ] . F o o d C h e m i s t r y , 2 0 2 2 , 3 9 3 : 1 3 3 4 4 0 .
  - > WANG M K, LI K, WANG J, et al. Immobilization of 5 K L ] R P X F R U P S E D W K H L R Q P D J Q H W L F P X O W L Z D Q D Q R W X E H V W R Z D U G V W K H V \ Q W K H V L V R I F 2 p a o n f i l a c i d a n d s n - 1 , 3 o l e i c a c i d ( O P O ) f o r i n f a n t f o r m u l a u s e [ J ] . F o o d C h e m i s t r y , 2 0 2 2 , 3 9 0 : 1 3 3 1 7 1 .
  - > @ 0 0 , - 8 ä , " " • • , 1 y . J „ € Ê \* Ê F 7 2 6 Ú G ! , ' . D 0 ! F ... [ J ] . 6 € Ü F , 2 0 2 0 , 3 4 ( 4 ) : 3 7 8 - 3 9 6 .
  - > WALIYAH A, PERDANI M S, PUTRI D N, et al. Effect of additional amino group to improve the performance of immobilized lipase from \$ V S H U J L O i p a s e o n t o a n o v e l H U c r o s s l i n k i n g m e t h o d [ J ] . F r o n t i e r s i n E n e r g y R e s e a r c h , \$ U 2 0 2 1 , 1 9 ( 6 ) : 6 9 4 5 . - @ ( Q J L Q H H U L Q J
  - > WU Y, ZHOU H, DAI L, et al. Lipase immobilization on macroporous ZIF-8 for enhanced enzymatic biodiesel production [J]. ACS Omega, 2021, 6(3): 2143-2148.
  - > @ 0 0 j . ê £ 7 2 / ñ , ' A ô ' Q » \* 0 û ú ! G ! # f 7 [ D ] . K Q : " • † W - , 2 0 1 3 .
  - > WANG A , - L c , ' : ù : ù , 1 y . à » \* Ê F \$ V S H U J L O 2 X V R U \ ] D H E L R F Ú G W Ů F 0 @ 1 , 3 V ¼ " É G - 2 G H D - F L É G Ÿ [ J ] D O W L R Q G ¥ J , 2 0 1 6 , 4 2 ( 5 ) : 2 5 - 3 0 .
  - > WANG X, JIANG C, XU W, et al. Enzymatic synthesis of structured triacylglycerols rich in 1,3-dioleoyl-2-palmitoylglycerol and 1-oleoyl-2-palmitoyl-3-linoleoylglycerol in a solvent-free system [J]. LWT-Food Science and Technology, 2020, 118: 108798.
  - > WU , Z H A N G Y , Z H O U Y , e t a l . A n o v e l a n d c o n t r o l l a b l e m e t h o d f o r s i m u l t a n e o u s p r e p a r a t i o n o f h u m a n m i l k f a t a n d d o c o s a h e x a e n o i c a c i d : C o m b i n a t i o n o f e n z y m a t i c a n d p h y s i c a l m e t h o d s [ J ] . F o o d R e s e a r c h I n t e r n a t i o n a l , 2 0 2 3 , 1 6 3 : 1 1 2 1 6 8 .
  - > WANG L, XU Z, HUANG J, et al. Enzymatically catalyzed V \ Q W K H V L V R I O R Z F D O R U L H V W U X F W X U H s y s t e m : O p t i m i z a t i o n b y r e s p o n s e s u r f a c e m e t h o d o l o g y [ J ] . J o u r n a l o f A g r i c u l t u r a l a n d F o o d C h e m i s t r y , 2 0 1 1 , 5 9 ( 2 3 ) : 2 0 3 5 - 2 0 4 2 .
  - > WU L, ZENG C, WEI L, et al. Fabrication of immobilized lipases for efficient preparation of 1,3-dioleoyl-2-palmitoylglycerol [J]. Food Chemistry, 2023, 408: 135236.
  - > @ 0 0 . 1 - " é G " - 2 - , G " - 3 - Ê " é G " + H " é 9 G Ÿ , ' G ! # 8 @ ú W K H Q W D W G E H P 2 , F R [ D ] W K C C X R V X - 2 0 2 0 R Z